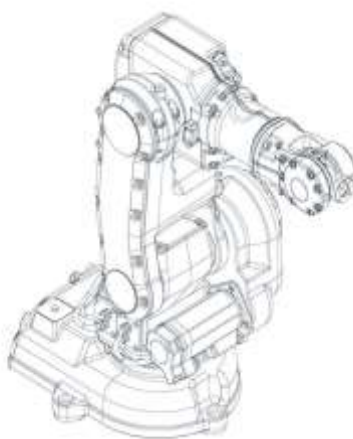


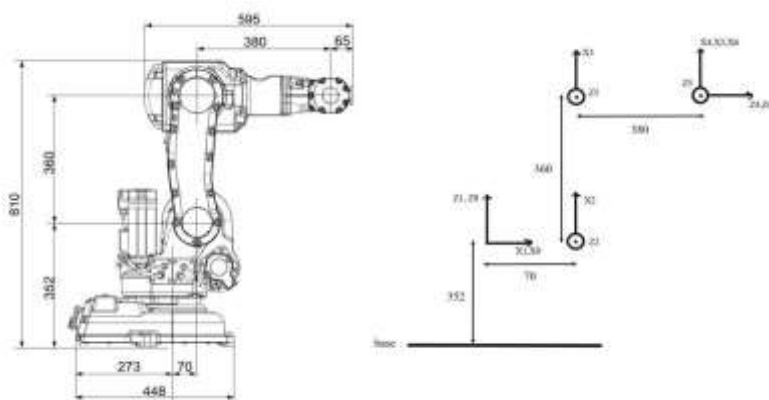
ربات IRB140 از شرکت ABB است که دارای ۶ درجه آزادی می باشد که همه مفصل های مورد استفاده در این ربات به صورت دورانی هستند. محورهای سه لینک انتهایی ربات در یک نقطه همدیگر را قطع کرده و به بیان دیگر ربات دارای مچ می باشد. این ویژگی باعث می گردد که سینماتیک معکوس ربات حل تحلیلی داشته باشد. در ادامه شکل ربات موردنظر را نشان می دهد.



تصویر شماتیک ربات IRB 140

فریم گذاری ربات و پارامترهای دناویت هارتنبرگ

بر اساس قراردادهای بررسی شده برای فریم گذاری بر روی مفاصل ربات، در شکل زیر فریم های موردنظر مشاهده می گردند.



فریم گذاری بر درجات آزادی ربات

پارامترهای دناویت هارتنبرگ نیز در جدول نشان داده شده است.

پارامترهای دناویت هارتنبرگ ربات

| i | $i-1\alpha$ | A_{i-1} | Θ_i | D_i |
|---|-------------|-----------|--------------------|-------|
| ۱ | ۰ | ۰ | Θ_1 | ۰ |
| ۲ | ۹۰ | ۷۰ | $\pi/2 + \Theta_2$ | ۰ |
| ۳ | ۰ | ۳۶۰ | Θ_3 | ۰ |
| ۴ | ۹۰ | ۰ | Θ_4 | ۳۸۰ |
| ۵ | -۹۰ | ۰ | Θ_5 | ۰ |
| ۶ | ۹۰ | ۰ | Θ_6 | ۰ |

سینماتیک مستقیم

با استفاده از رابطه ۱-۱ می‌توان ماتریس تبدیل هر لینک را نسبت به لینک پیشین به دست آورد و در نهایت با ضرب ماتریس‌های به دست آمده، ماتریس تبدیل انتهای موثر را نسبت به مختصات پایه به دست آورد.

$${}^{i-1}_iT = \begin{bmatrix} c\theta_i & -s\theta_i & 0 & a_{i-1} \\ s\theta_i c\alpha_{i-1} & c\theta_i c\alpha_{i-1} & -s\alpha_{i-1} & -s\alpha_{i-1}d_i \\ s\theta_i s\alpha_{i-1} & c\theta_i s\alpha_{i-1} & c\alpha_{i-1} & c\alpha_{i-1}d_i \\ 0 & 0 & 0 & 1 \end{bmatrix} \quad \text{رابطه ۱-۱}$$

بنابراین می‌توان ماتریس‌های تبدیل ربات را به صورت روابط ۱-۲ تا ۱-۷ استخراج نمود.

$${}^0_1T = \begin{bmatrix} c\theta_1 & -s\theta_1 & 0 & 0 \\ s\theta_1 & c\theta_1 & 0 & 0 \\ 0 & 0 & 1 & 0 \\ 0 & 0 & 0 & 1 \end{bmatrix} \quad \text{رابطه ۲-۱}$$

$${}^1_2T = \begin{bmatrix} -s\theta_2 & -c\theta_2 & 0 & 70 \\ 0 & 0 & -1 & 0 \\ c\theta_2 & -s\theta_2 & 0 & 0 \\ 0 & 0 & 0 & 1 \end{bmatrix} \quad \text{رابطه ۳-۱}$$

$${}^2_3T = \begin{bmatrix} c\theta_3 & -s\theta_3 & 0 & 360 \\ s\theta_3 & c\theta_3 & 0 & 0 \\ 0 & 0 & 1 & 0 \\ 0 & 0 & 0 & 1 \end{bmatrix} \quad \text{رابطه ۴-۱}$$

$${}^3_4T = \begin{bmatrix} c\theta_4 & -s\theta_4 & 0 & 0 \\ 0 & 0 & -1 & -360 \\ s\theta_4 & c\theta_4 & 0 & 0 \\ 0 & 0 & 0 & 1 \end{bmatrix} \quad \text{رابطه ۵-۱}$$

$${}^4_5T = \begin{bmatrix} c\theta_5 & -s\theta_5 & 0 & 0 \\ 0 & 0 & 1 & 0 \\ -s\theta_5 & -c\theta_5 & 0 & 0 \\ 0 & 0 & 0 & 1 \end{bmatrix} \quad \text{رابطه ۶-۱}$$

$${}^5_6T = \begin{bmatrix} c\theta_6 & -s\theta_6 & 0 & 0 \\ 0 & 0 & -1 & 0 \\ s\theta_6 & c\theta_6 & 0 & 0 \\ 0 & 0 & 0 & 1 \end{bmatrix} \quad \text{رابطه ۷-۱}$$

برای به دست آوردن ماتریس تبدیل انتهای موثر نسبت به مختصات پایه نیز از رابطه ۸-۱ استفاده می‌شود.

$${}^0_6T = {}^0_1T {}^1_2T {}^2_3T {}^3_4T {}^4_5T {}^5_6T \quad \text{رابطه ۸-۱}$$

$${}^0_6T = \begin{bmatrix} r_{11} & r_{12} & r_{13} & x \\ r_{21} & r_{22} & r_{23} & y \\ r_{31} & r_{32} & r_{33} & z \\ 0 & 0 & 0 & 1 \end{bmatrix} \quad \text{رابطه ۹-۱}$$

ژاکوبین

برای به دست آوردن ماتریس ژاکوبین از روش سوم مطرح شده در کتاب استفاده می‌شود. از آن جایی که تمامی مفصل های ربات انتخاب شده برای این پروژه از نوع revolute هستند، ماتریس ژاکوبین از رابطه ۱۰-۱ به دست می آید.

$${}^0_jJ = \begin{bmatrix} \mathbf{z}_i \times (\mathbf{o}_n - \mathbf{o}_i) \\ \mathbf{z}_i \end{bmatrix} \quad \text{رابطه ۱۰-۱}$$

از آن جایی که می‌توان ماتریس ژاکوبین را به دو بخش ژاکوبین موقعیت و ژاکوبین جهت گیری تقسیم بندی کرد، هر کدام از این ژاکوبین ها در روابط زیر موجود هستند.

$$J_v = \begin{bmatrix} j_{11} & j_{12} & j_{13} & j_{14} & j_{15} & j_{16} \\ j_{21} & j_{22} & j_{23} & j_{24} & j_{25} & j_{26} \\ j_{31} & j_{32} & j_{33} & j_{34} & j_{35} & j_{36} \end{bmatrix}$$

$$j_{11} = -10\sin((\pi\theta_1)/180)(38\sin((\pi(\pi + 2\theta_2 + 2\theta_3))/360) + 36\cos((\pi(\pi + 2\theta_2))/360) + 7)$$

$$j_{12} = \cos((\pi\theta_1)/180)(380\cos((\pi(\pi + 2\theta_2 + 2\theta_3))/360) - 360\sin((\pi(\pi + 2\theta_2))/360))$$

$$j_{13} = 380\cos((\pi(\pi + 2\theta_2 + 2\theta_3))/360)\cos((\pi\theta_1)/180)$$

$$j_{21} = 10\cos((\pi\theta_1)/180)(38\sin((\pi(\pi + 2\theta_2 + 2\theta_3))/360) + 36\cos((\pi(\pi + 2\theta_2))/360) + 7)$$

$$j_{22} = \sin((\pi\theta_1)/180)(380\cos((\pi(\pi + 2\theta_2 + 2\theta_3))/360) - 360\sin((\pi(\pi + 2\theta_2))/360))$$

$$j_{23} = 380\cos((\pi(\pi + 2\theta_2 + 2\theta_3))/360)\sin((\pi\theta_1)/180)$$

$$j_{31} = 0$$

$$j_{32} = 380\sin((\pi(\pi + 2\theta_2 + 2\theta_3))/360) + 360\cos((\pi * (\pi + 2\theta_2))/360)$$

$$j_{33} = 380\sin((\pi(\pi + 2\theta_2 + 2\theta_3))/360)$$

$$j_{14} = j_{15} = j_{16} = j_{24} = j_{25} = j_{26} = j_{34} = j_{35} = j_{36} = 0$$

$$J_w = \begin{bmatrix} j_{11} & j_{12} & j_{13} & j_{14} & j_{15} & j_{16} \\ j_{21} & j_{22} & j_{23} & j_{24} & j_{25} & j_{26} \\ j_{31} & j_{32} & j_{33} & j_{34} & j_{35} & j_{36} \end{bmatrix}$$

$$j_{11} = 0$$

$$j_{12} = \sin((\pi\theta_1)/180)$$

$$j_{13} = \sin((\pi\theta_1)/180)$$

$$j_{14} = \sin((\pi(\pi + 2\theta_2 + 2\theta_3))/360)\cos((\pi\theta_1)/180)$$

$$j_{15} = \cos((\pi\theta_4)/180)\sin((\pi\theta_1)/180) - \sin((\pi\theta_4)/180)(\cos((\pi\theta_1)/180)\cos((\pi\theta_3)/180)\cos((\pi(\pi/2 + \theta_2))/180) - \cos((\pi\theta_1)/180)\sin((\pi\theta_3)/180)\sin((\pi(\pi/2 + \theta_2))/180))$$

$$j_{16} = \sin((\pi\theta_5)/180)(\cos((\pi\theta_4)/180)(\cos((\pi\theta_1)/180)\cos((\pi\theta_3)/180)\cos((\pi(\pi/2 + \theta_2))/180) - \cos((\pi\theta_1)/180)\sin((\pi\theta_3)/180)\sin((\pi(\pi/2 + \theta_2))/180)) + \sin((\pi\theta_1)/180)\sin((\pi\theta_4)/180)) + \cos((\pi\theta_5)/180)(\cos((\pi\theta_1)/180)\cos((\pi\theta_3)/180)\sin((\pi(\pi/2 + \theta_2))/180) + \cos((\pi\theta_1)/180)\cos((\pi(\pi/2 + \theta_2))/180)\sin((\pi\theta_3)/180))$$

$$j_{21} = 0$$

$$j_{22} = -\cos((\pi\theta_1)/180)$$

$$j_{23} = -\cos((\pi\theta_1)/180)$$

$$j_{24} = \sin((\pi(\pi + 2\theta_2 + 2\theta_3))/360)\sin((\pi\theta_1)/180)$$

$$j_{25} = -\cos((\pi\theta_1)/180)\cos((\pi\theta_4)/180) - \sin((\pi\theta_4)/180)(\cos((\pi\theta_3)/180)\cos((\pi(\pi/2 + \theta_2))/180)\sin((\pi\theta_1)/180) - \sin((\pi\theta_1)/180)\sin((\pi\theta_3)/180)\sin((\pi(\pi/2 + \theta_2))/180))$$

$$j_{26} = \cos((\pi\theta_5)/180)(\cos((\pi\theta_3)/180)\sin((\pi\theta_1)/180)\sin((\pi(\pi/2 + \theta_2))/180) + \cos((\pi(\pi/2 + \theta_2))/180)\sin((\pi\theta_1)/180)\sin((\pi\theta_3)/180)) - \sin((\pi\theta_5)/180)(\cos((\pi\theta_1)/180)\sin((\pi\theta_4)/180) - \cos((\pi\theta_4)/180)(\cos((\pi\theta_3)/180)\cos((\pi(\pi/2 + \theta_2))/180)\sin((\pi\theta_1)/180) - \sin((\pi\theta_1)/180)\sin((\pi\theta_3)/180)\sin((\pi(\pi/2 + \theta_2))/180)))$$

$$j_{31} = 1$$

$$j_{32} = j_{33} = 0$$

$$j_{34} = -\cos((\pi(\pi + 2\theta_2 + 2\theta_3))/360)$$

$$j_{35} = -\sin((\pi(\pi + 2\theta_2 + 2\theta_3))/360)\sin((\pi\theta_4)/180)$$

$$j_{36} = \sin((\pi(\pi + 2\theta_2 + 2\theta_3))/360)\cos((\pi\theta_4)/180)\sin((\pi\theta_5)/180) - \cos((\pi(\pi + 2\theta_2 + 2\theta_3))/360)\cos((\pi\theta_5)/180)$$

از آنجایی که ربات انتخاب شده دارای مچ کروی است، ماتریس ژاکوبین نهایی آن طبق آن چه که در کتاب آمده است به صورت رابطه ۱-۱۱ خواهد بود.

$$J = \begin{bmatrix} J_{11} & 0 \\ J_{21} & J_{22} \end{bmatrix}$$

رابطه ۱-۱۱

به دست آوردن نقاط تکین

برای به دست آوردن نقاط و وضعیت های تکین ربات کافی است دترمینان ژاکوبین برابر با صفر گردد و از آن جایی که ماتریس ژاکوبین به شکل رابطه فوق نوشته می شود، کافی است برای به دست آوردن نقاط تکین رابطه ۱-۱۲ برقرار باشد.

$$\det(J_{11}) = 0 \quad , \quad \det(J_{22}) = 0$$

رابطه ۱-۱۲

بدین ترتیب معادلات نقاط تکین به صورت رابطه ۱-۱۳ تا ۱-۱۴ خواهند بود.

$$1368000 \cos\left(\frac{\pi\theta_3}{180}\right) \left(38 \cos\left(\frac{\pi(\theta_2+\theta_3)}{180}\right) - 36 \sin\left(\frac{\pi\theta_2}{180}\right) + 7\right) = 0 \quad \text{رابطه ۱-۱۳}$$

$$-380 \cos\left(\frac{\pi(\theta_2+\theta_3)}{180}\right) \sin\left(\frac{\pi\theta_5}{180}\right) = 0 \quad \text{رابطه ۱-۱۴}$$

تحلیل فیزیکی وضعیت های تکین

الف) یک از وضعیت های تکین که معادله دوم به دست می آید، زمانی رخ می دهد که θ_5 برابر با صفر یا ۱۸۰ درجه باشد. از آن جایی که سه زاویه انتهایی ربات که تشکیل دهنده مچ ربات هستند طبق زوایای اوپلری به صورت **zyz** هستند، در صورتی که زاویه لینک پنجم برابر با صفر شود، محور لینک های چهارم و ششم در یک راستا قرار می گیرند و در عمل یکی از درجات آزادی ربات حذف می شود.

ب) وضعیت دوم سینگولار که از معادله دوم به دست می آید زمانی رخ می دهد که $\theta_2 + \theta_3$ برابر با ۹۰ درجه شود. به عبارت دیگر زمانی که لینک سوم در وضعیت قائم نسبت به افق قرار می گیرد، ربات در وضعیت سینگولار خود می باشد.

پ) وضعیت دیگری که ربات در حالت سینگولار است و از معادله اول به دست می آید، زمانی رخ می دهد که θ_3 برابر با ۹۰ درجه گردد. در این وضعیت لینک سوم در امتداد لینک دوم قرار می گیرد. در این حالت موقعیت end effector بر روی مرز محیط کاری ربات است که این حالت از وضعیت های سینگولار به حساب می آید.

به دست آوردن معادلات دینامیک در فضای مفصلی

برای به دست آوردن معادلات دینامیک ربات از روش لاگرانژ استفاده می شود. ماتریس M در این روش با استفاده از رابطه ۱-۱۵ به دست می آید.

$$M = \sum_{i=1}^6 m_i J_{vci}^T J_{vci} + J_{wi}^T R_i I_{ci} R_i^T J_{wi} \quad \text{رابطه ۱-۱۵}$$

که در رابطه ۲-۶ m_i جرم هر لینک، J_{vci} ژاکوبین موقعیت مرکز جرم هر لینک، I_{ci} ممان اینرسی هر لینک حول مرکز جرمشان و R_i ماتریس تبدیل جهت گیری است. پس از به دست آمدن ماتریس M می توان ماتریس C را طبق رابطه ۱-۱۶ به دست آورد.

$$C_{ijk} = \frac{1}{2} \left\{ \frac{\partial m_{kj}}{\partial \theta_i} + \frac{\partial m_{ki}}{\partial \theta_j} - \frac{\partial m_{ij}}{\partial \theta_k} \right\} \quad \text{رابطه ۱-۱۶}$$

که در این رابطه مقادیر k, i, j از یک تا شش هستند.

برای به دست آوردن ماتریس G ابتدا باید انرژی پتانسیل هر لینک به دست آید. بدین منظور انرژی پتانسیل هر لینک عبارت است از حاصل ضرب g در جرم هر لینک و فاصله قائم مرکز جرم هر لینک تا مبدا. در فریم گذاری انتخاب شده برای ربات، فاصله قائم مرکز جرم هر لینک برابر است با درایه ستون چهارم و سطر سوم ماتریس تبدیل مرکز جرم هر لینک.

سپس انرژی پتانسیل تمامی لینک ها با یکدیگر جمع می شوند و بدین ترتیب طبق رابطه ۱-۱۷ ماتریس G به دست می آید.

$$G_k = \frac{\partial P}{\partial \theta_k} \quad \text{رابطه ۱-۱۷}$$

در نهایت معادلات دینامیکی سیستم و همچنین گشتاورهای موجود در هر لینک از رابطه ۱-۱۸ به دست می آید.

$$\sum_j m_{kj} \ddot{\theta}_j + \sum_{i=1}^6 \sum_{j=1}^6 C_{ijk}(\theta) \dot{\theta}_i \dot{\theta}_j + G_k(\theta) = \tau_k \quad \text{رابطه ۱-۱۸}$$

به دست آوردن معادلات دینامیک در فضای کارتزین

با تبدیل مناسب ماتریس های M ، G و V معادلات دینامیک سیستم به رابطه ۱-۱۹ تبدیل خواهند شد.

$$M_x(\theta) \ddot{X} + V_x(\theta, \dot{\theta}) + G_x(\theta) = F \quad \text{رابطه ۱-۱۹}$$

بدین منظور می توان ماتریس های معادلات دینامیک سیستم را به صورت روابط ۱-۲۰ تا ۱-۲۲ تبدیل نمود.

$$M_x(\theta) = J^{-T}(\theta) M(\theta) J^{-1}(\theta) \quad \text{رابطه ۱-۲۰}$$

$$V_x(\theta, \dot{\theta}) = J^{-T}(\theta)(V(\theta, \dot{\theta}) - M(\theta)J^{-1}(\theta)\dot{J}(\theta)\dot{\theta})$$

رابطه ۱-۲۱

$$G_x(\theta) = J^{-T}(\theta)G(\theta)$$

رابطه ۱-۲۲

شبیه‌سازی معادلات دینامیکی

برای شبیه‌سازی از مقادی زیر استفاده شود.

مشخصات لینک اول

| | | | | |
|------------------------|------------------------|----------------------|-----------------------|------------------------|
| $X_{c1} = 10$ | $Y_{c1} = 0$ | $Z_{c1} = -200.4$ | $M_1 = 16287$ | $I_{xx1} = 1400701161$ |
| $I_{yy1} = 1360017420$ | $I_{zz1} = 1360017420$ | $I_{xy1} = 20700588$ | $I_{xz1} = 145213376$ | $I_{yz1} = 220271540$ |

مشخصات لینک دوم

| | | | | |
|------------------------|-----------------------|-----------------------|-----------------------|------------------------|
| $X_{c2} = 180$ | $Y_{c2} = 0$ | $Z_{c2} = 0$ | $M_2 = 7580$ | $I_{xx2} = 2515712063$ |
| $I_{yy2} = 2454250058$ | $I_{zz2} = 137288713$ | $I_{xy2} = -42758235$ | $I_{xz2} = 253228718$ | $I_{yz2} = -403583352$ |

مشخصات لینک سوم

| | | | | |
|------------------------|-----------------------|---------------------|-----------------------|------------------------|
| $X_{c3} = 0$ | $Y_{c3} = -90$ | $Z_{c3} = 0$ | $M_3 = 8030$ | $I_{xx3} = 4039217155$ |
| $I_{yy3} = 4164863641$ | $I_{zz3} = 150959769$ | $I_{xy3} = 2389617$ | $I_{xz3} = 506243283$ | $I_{yz3} = 42223519$ |

مشخصات لینک چهارم

| | | | | |
|------------------------|-----------------------|----------------------|-----------------------|-----------------------|
| $X_{c4} = 0$ | $Y_{c4} = 0$ | $Z_{c4} = -20$ | $M_4 = 1770$ | $I_{xx4} = 897284253$ |
| $I_{yy4} = 1158796159$ | $I_{zz4} = 265864124$ | $I_{xy4} = -1021758$ | $I_{xz4} = 480028086$ | $I_{yz4} = -1528307$ |

مشخصات لینک پنجم

| | | | | |
|-----------------------|----------------------|-------------------|----------------------|----------------------|
| $X_{c5} = 0$ | $Y_{c5} = -30$ | $Z_{c5} = 0$ | $M_5 = 145$ | $I_{xx5} = 73826024$ |
| $I_{yy5} = 103161590$ | $I_{zz5} = 29363661$ | $I_{xy5} = 40344$ | $I_{xz5} = 46480089$ | $I_{yz5} = 63931$ |

مشخصات لینک ششم

| | | | | |
|--------------|--------------|---------------|------------|----------------------|
| $X_{c6} = 0$ | $Y_{c6} = 0$ | $Z_{c6} = 60$ | $M_6 = 25$ | $I_{xx6} = 13110021$ |
|--------------|--------------|---------------|------------|----------------------|

| | | | | |
|--------------------|-------------------|-------------|-------------------|-------------|
| $I_{yy6}=19629949$ | $I_{zz6}=6526028$ | $I_{xy6}=0$ | $I_{xz6}=9243052$ | $I_{yz6}=0$ |
|--------------------|-------------------|-------------|-------------------|-------------|

باید توجه گردد که مقادیر ممان‌های اینرسی در جداول بالا بر حسب g.mm^2 ، مقادیر جرم‌ها بر حسب g و طول‌ها در واحد mm هستند. بدین منظور برای تبدیل واحدها به واحدهای استاندارد، ماتریس‌های M و V در 10^{-9} و ماتریس G در 10^{-6} ضرب می‌شوند.